



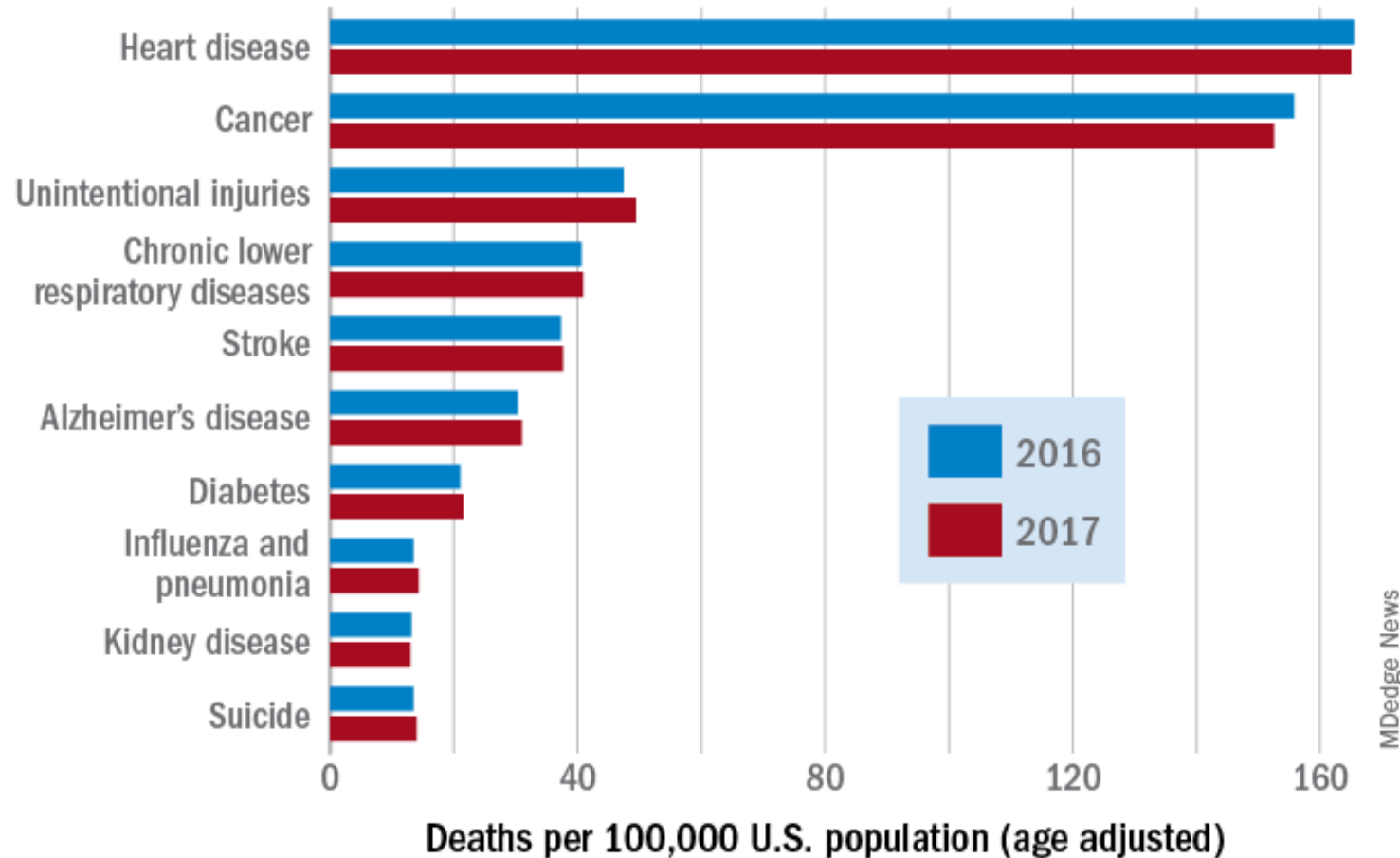
National University of
Science and Technology

Перспективы использования магнитных наночастиц в медицине

Абакумов Максим

- ФГБОУ ВО РНИМУ им. Н.И. Пирогова Минздрава России
- НИТУ МИСиС

Ten leading causes of death, 2016 and 2017



Note: Based on data from the National Vital Statistics System.

Source: National Center for Health Statistics

Уникальные свойства раковых клеток

Normal Cells



Small, uniformly shaped nuclei
Relatively large cytoplasmic volume



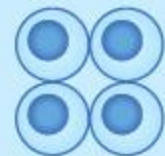
Cancer Cells



Large, variable shaped nuclei
Relatively small cytoplasmic volume



Conformity in cell size and shape
Cells arranged into discrete tissues



Variation in cell size and shape
Disorganised arrangement of cells

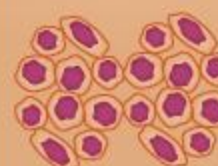
May possess differentiated
cell structures
Normal presentation of cell
surface markers



Loss of normal specialised features
Elevated expression of certain
cell markers



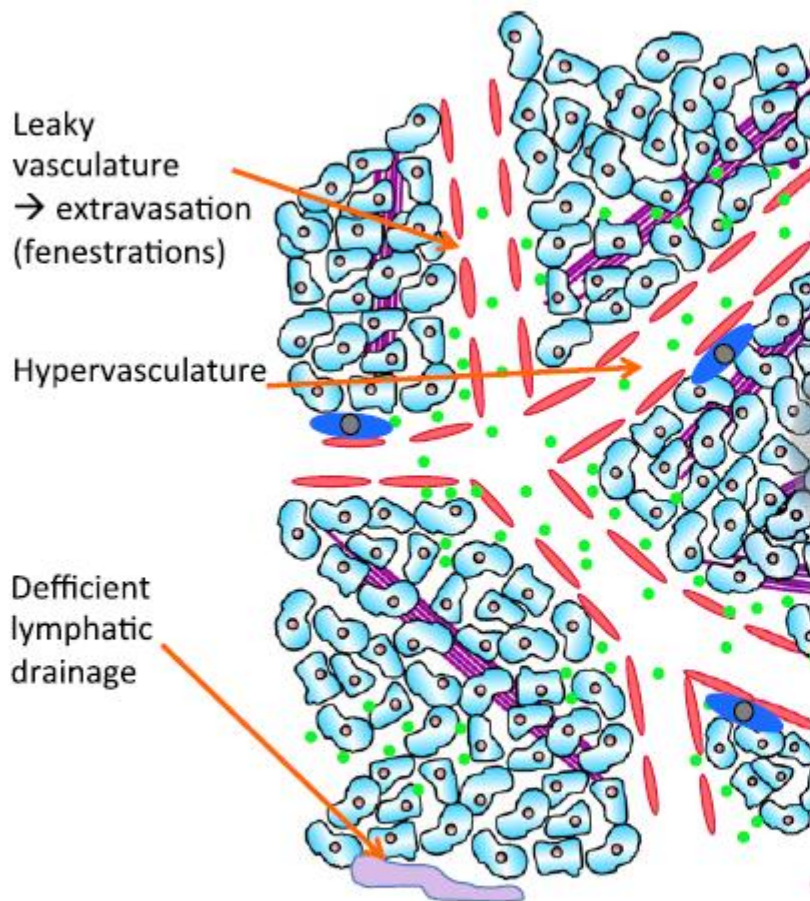
Lower levels of dividing cells
Cell tissues clearly demarcated



Large number of dividing cells
Poorly defined tumor boundaries

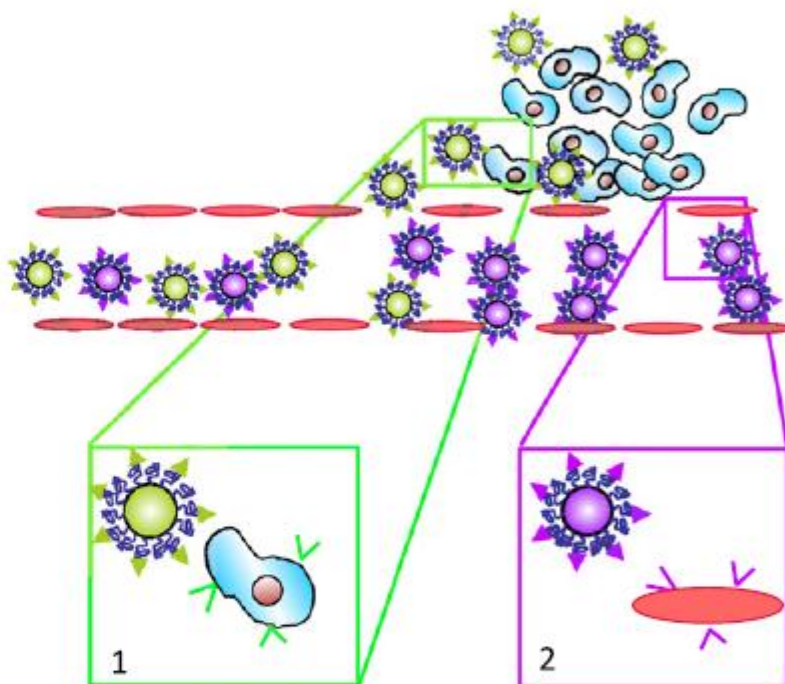
Активная и пассивная доставка

A



B

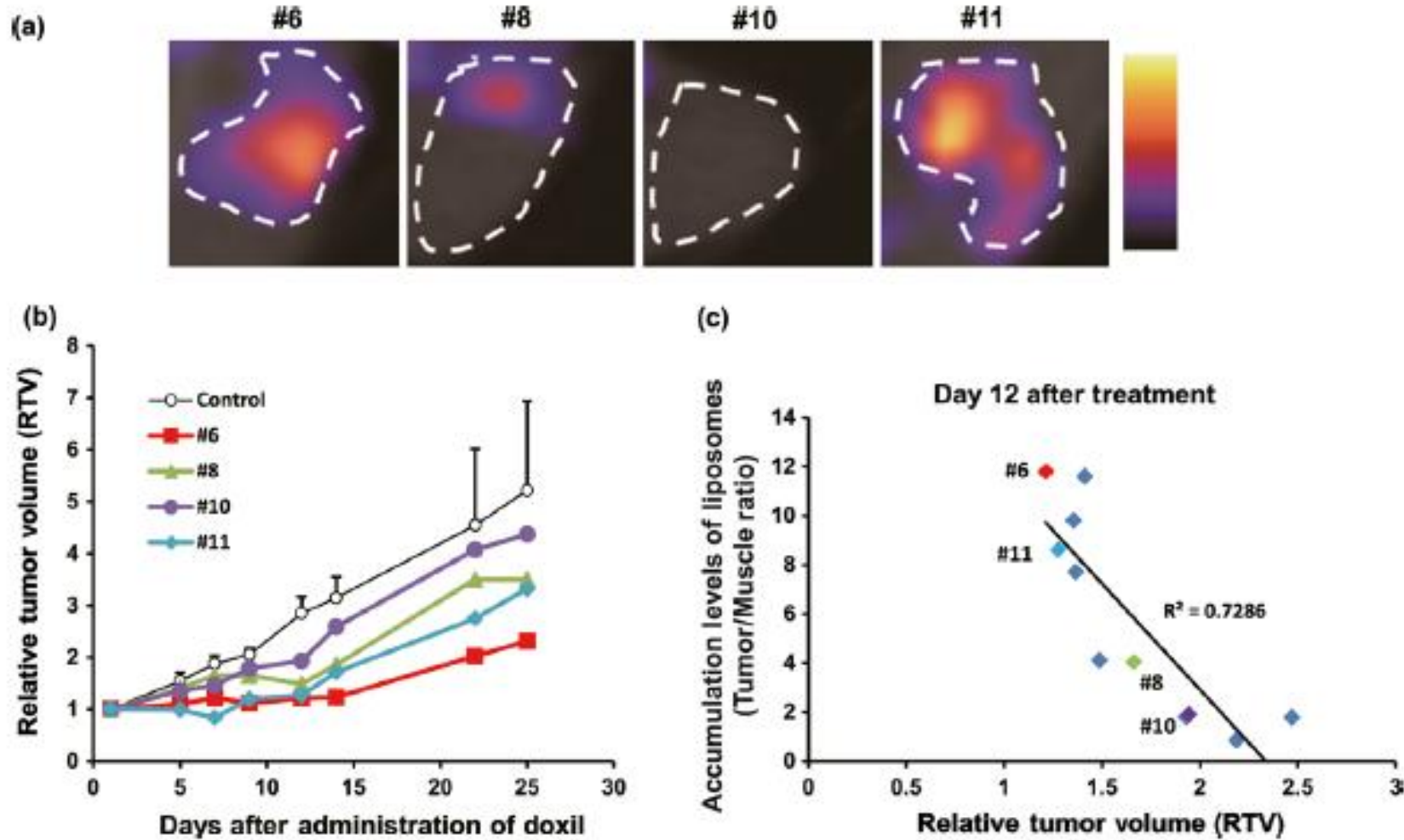
F. Danhier, *Journal of Controlled Release*
244 (2016) 108–121



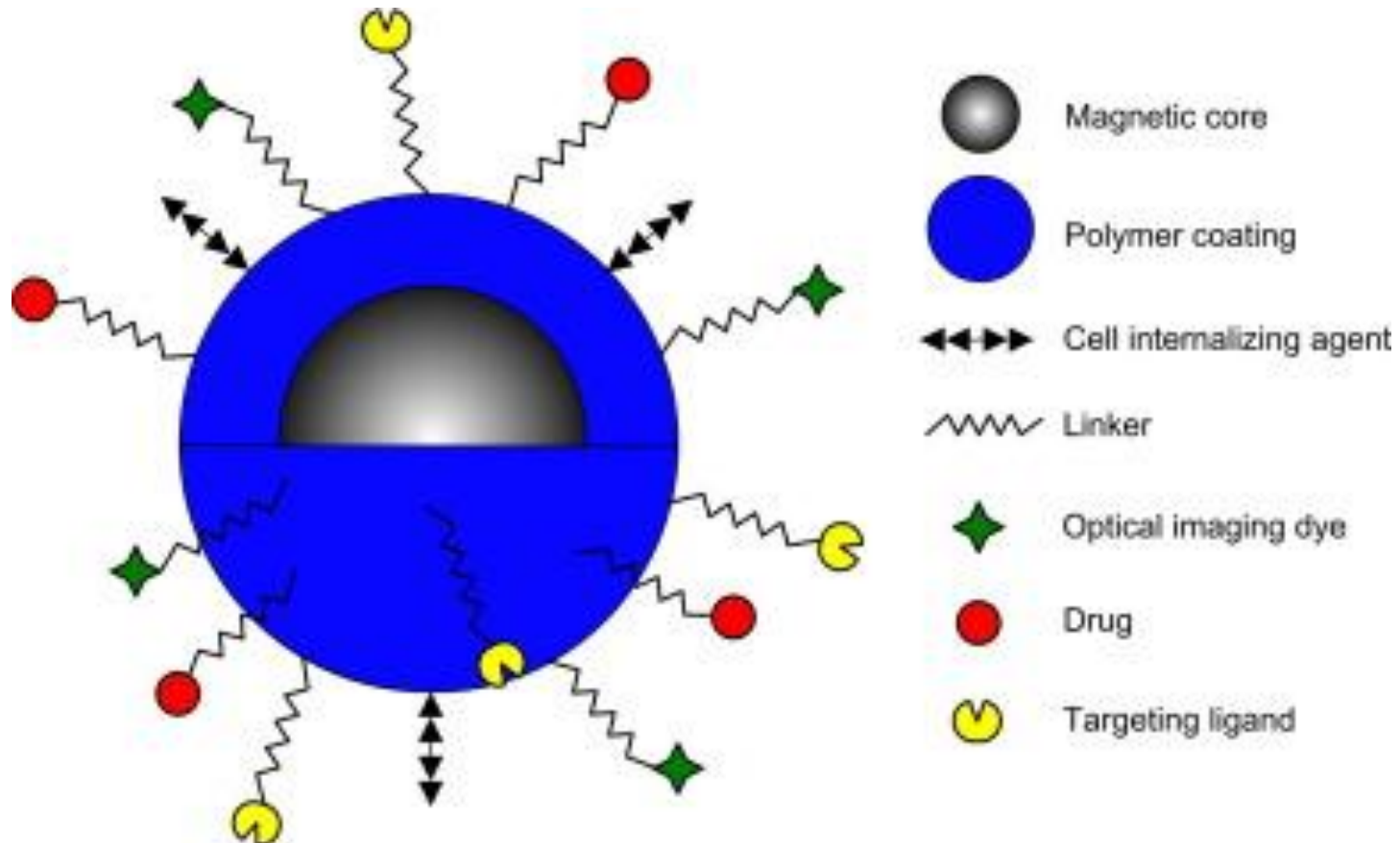
— Endothelial cell ■ Extracellular matrix
● Tumor cell ● Pericyte
● Untargeted nanomedicine

● Targeted nanomedicine
— Endothelial cell
● Tumor cell

«Умные» подходы к увеличению эффективности доставки

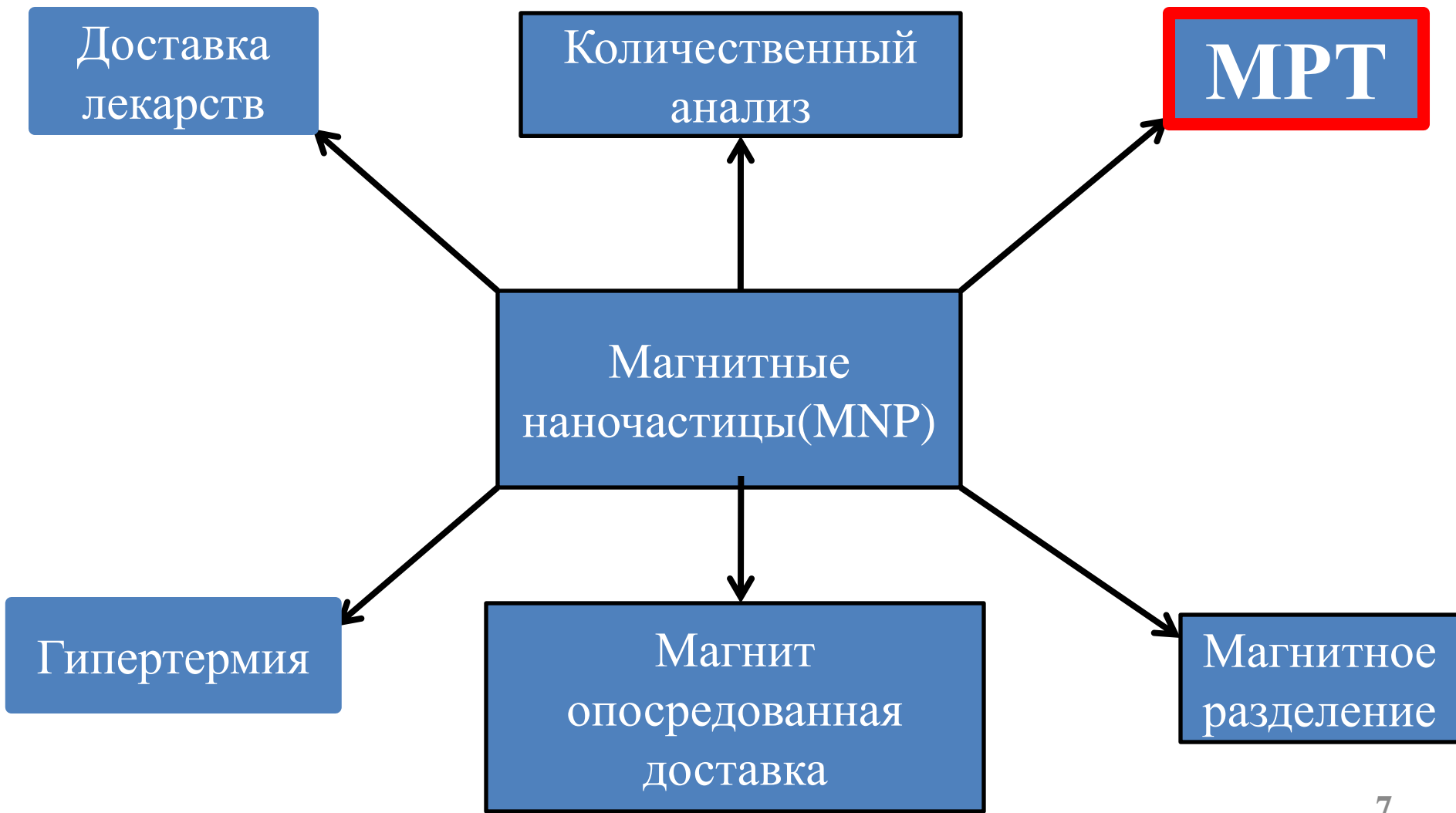


Магнитные наночастицы для биомедицины

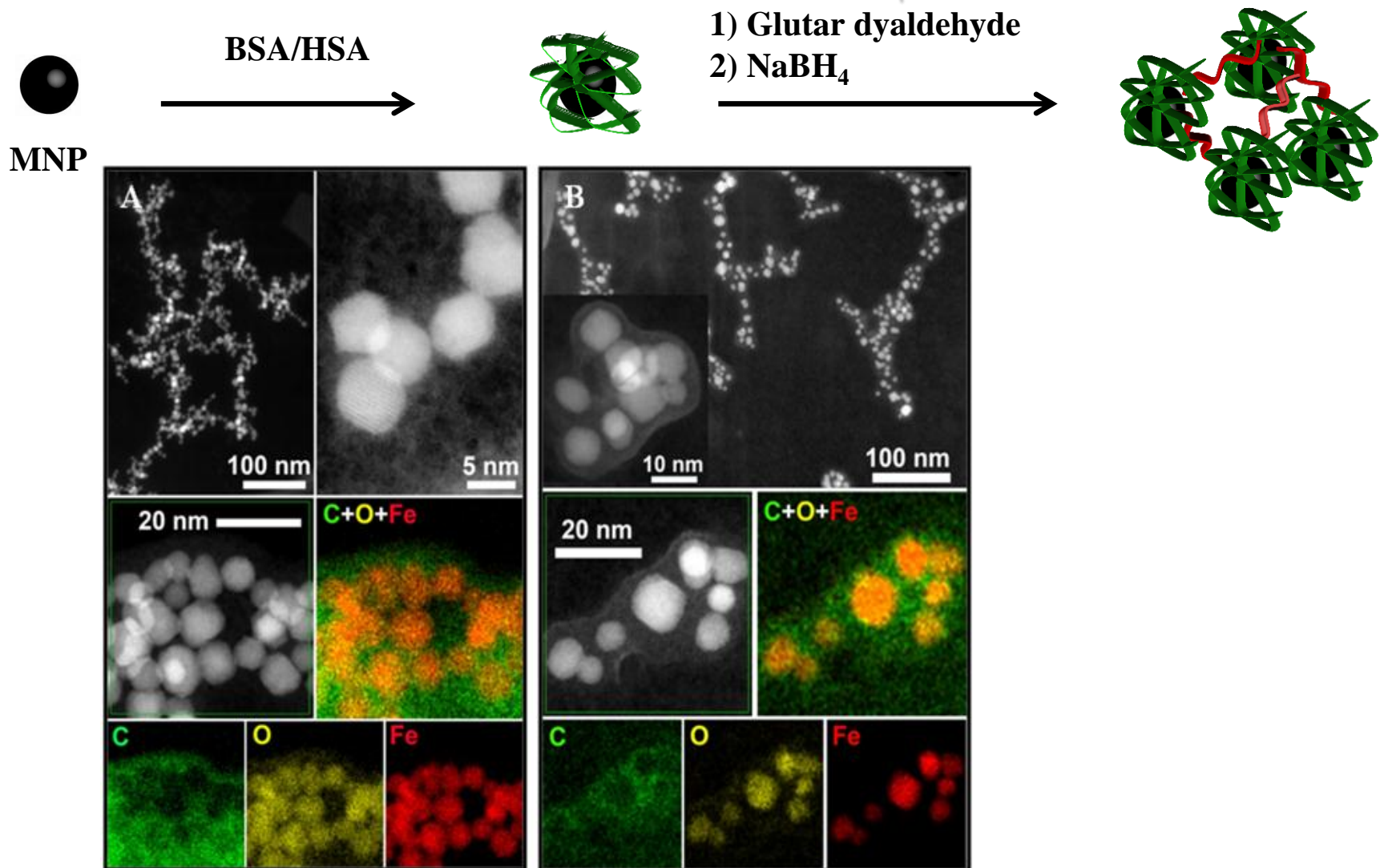


Laszlo Hajba, Andras Guttman , *The use of magnetic nanoparticles in cancer theranostics: Toward handheld diagnostic devices*, Biotechnology Advances, Volume 34, Issue 4, July–August 2016, Pages 354-361

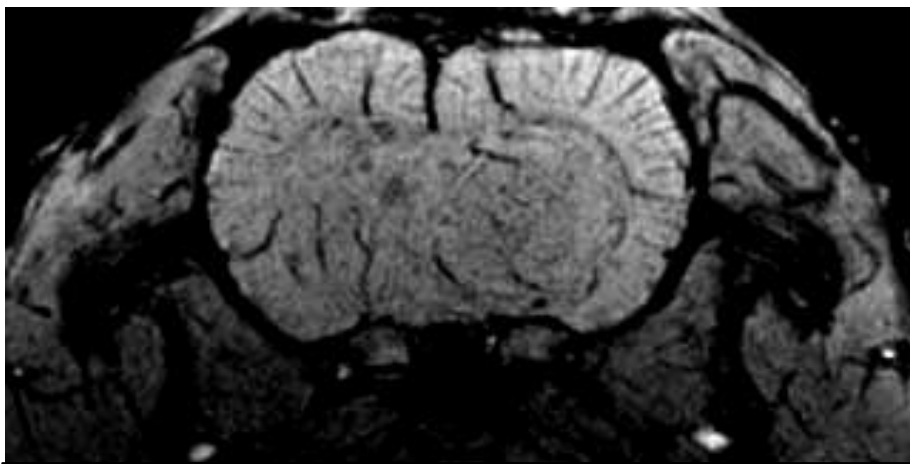
Применение магнитных наночастиц



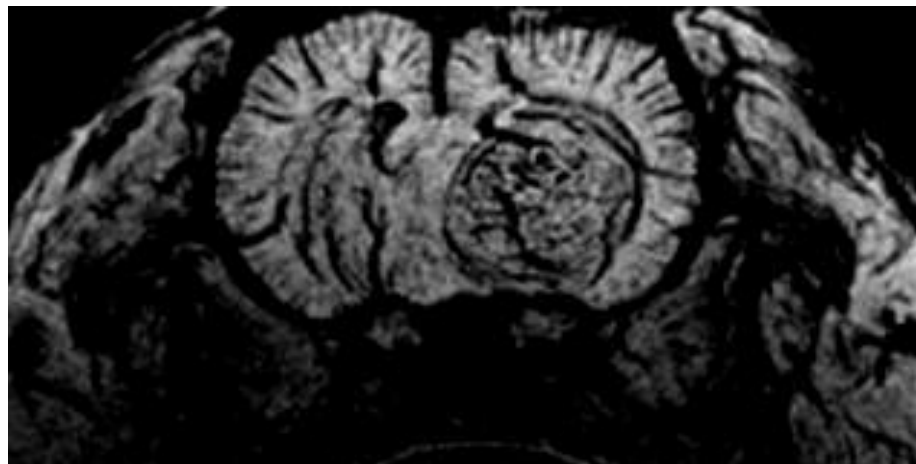
Стабилизация магнитных наночастиц



Визуализация глиомы С6 крысы

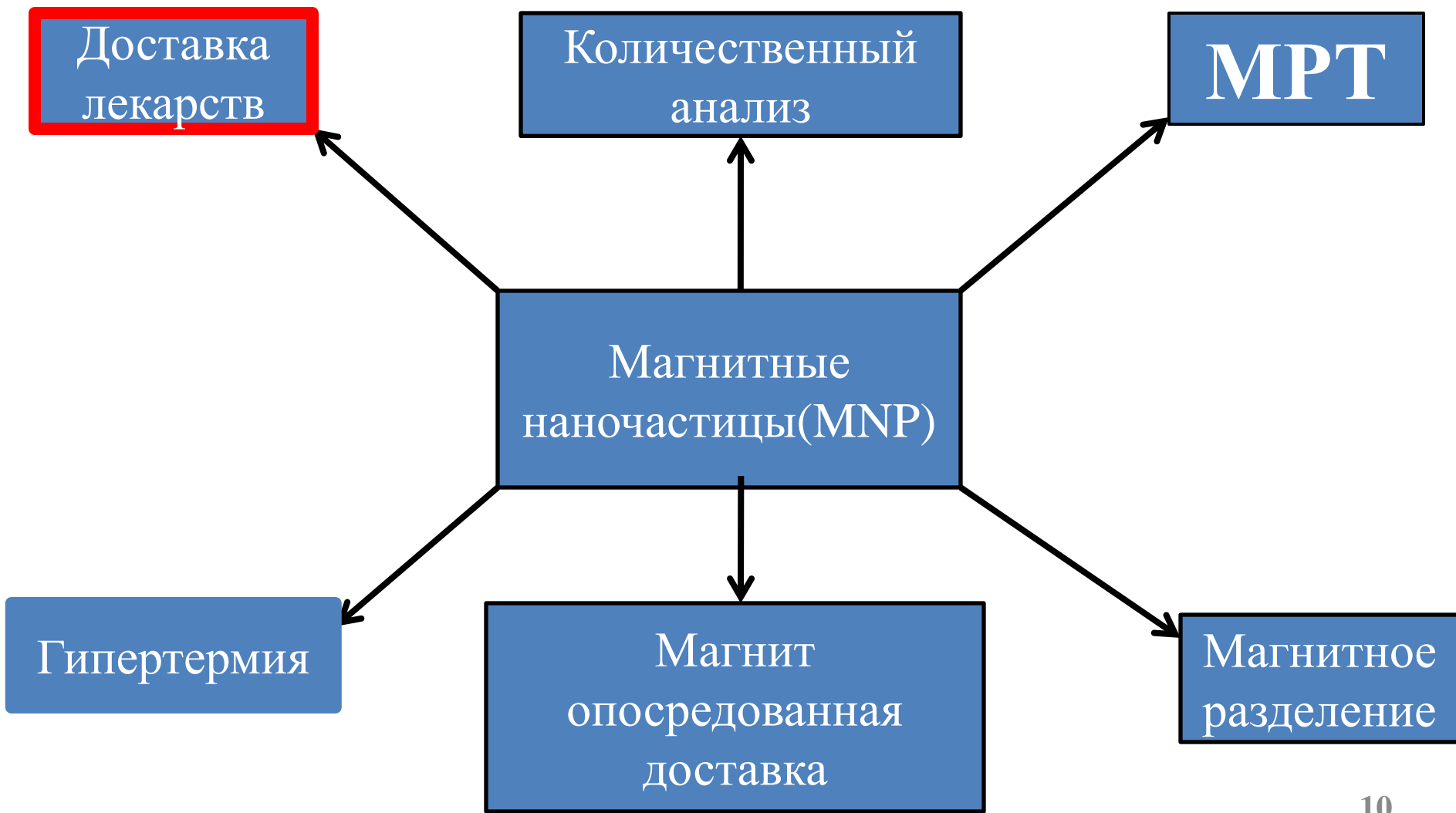


0 min

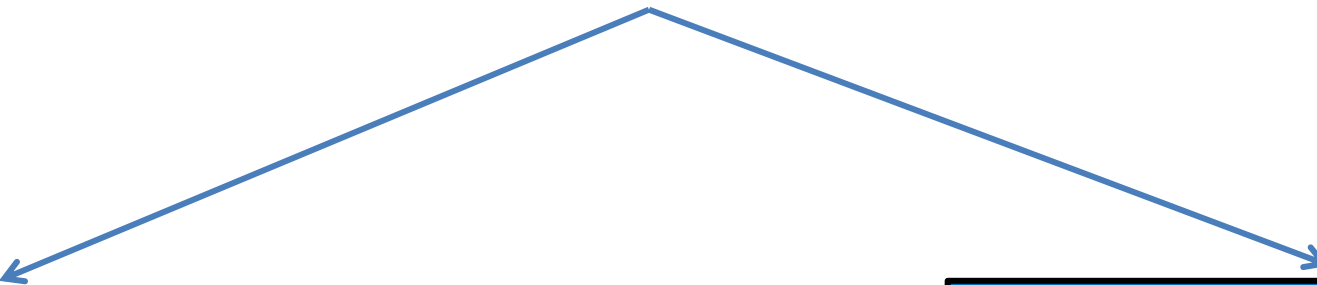


5 min

Применение магнитных наночастиц

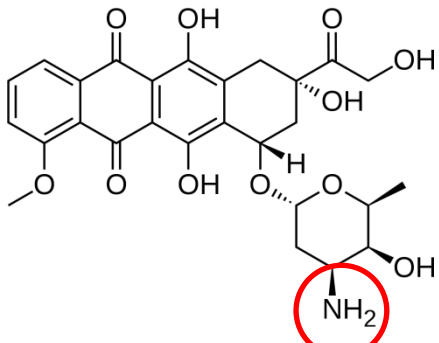


Доставка лекарств с помощью МНЧ



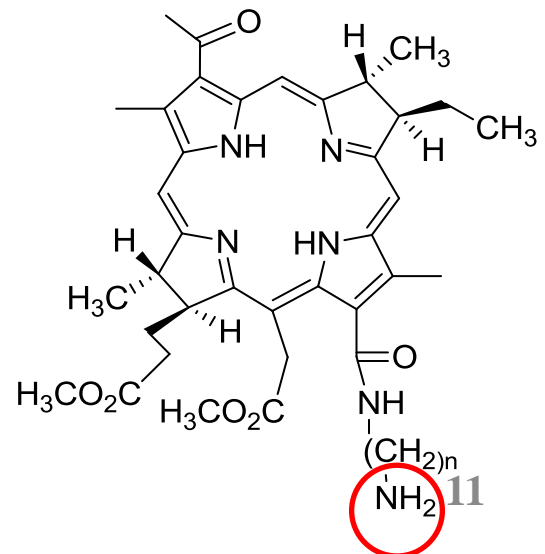
Доксорубицин

- Increase delivery efficiency
- Decrease side effects

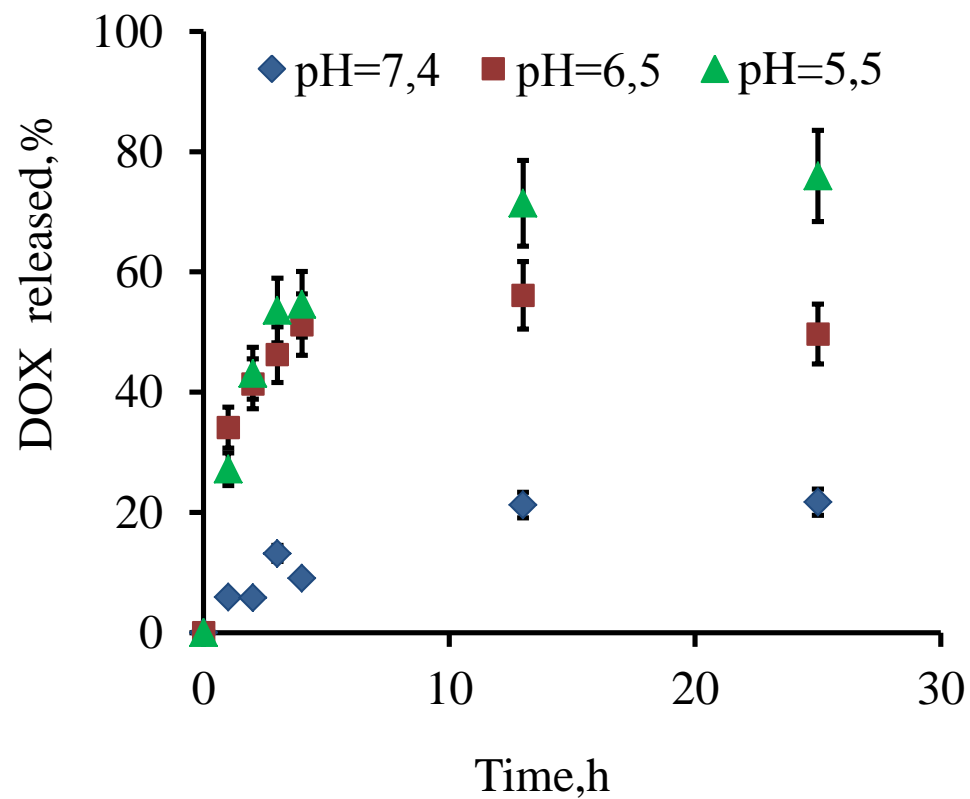
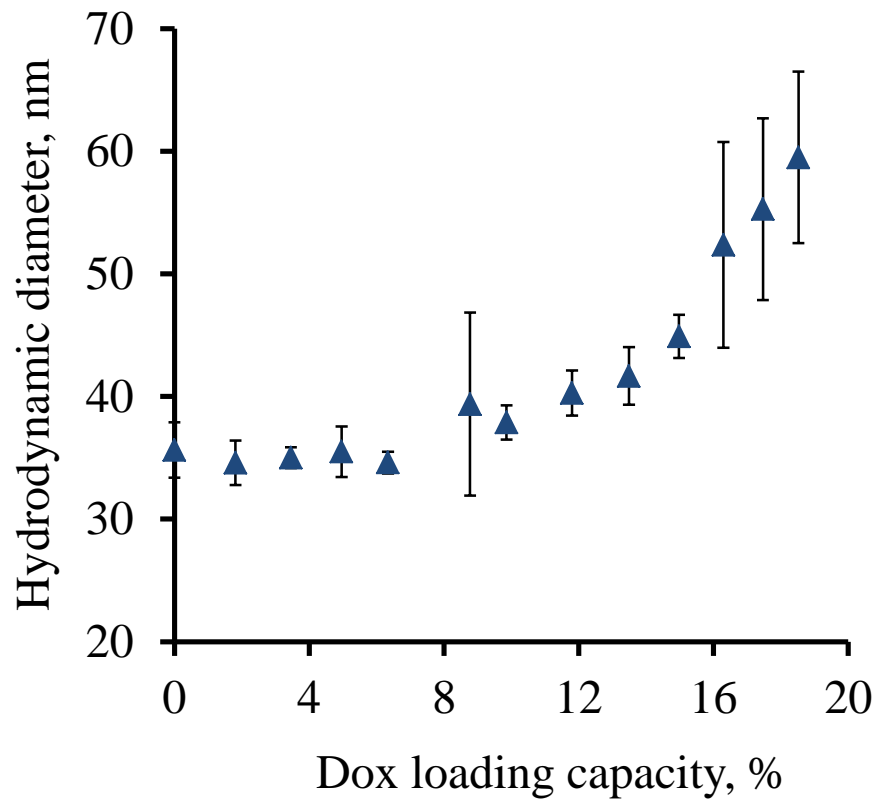


Фотосенсибилизаторы

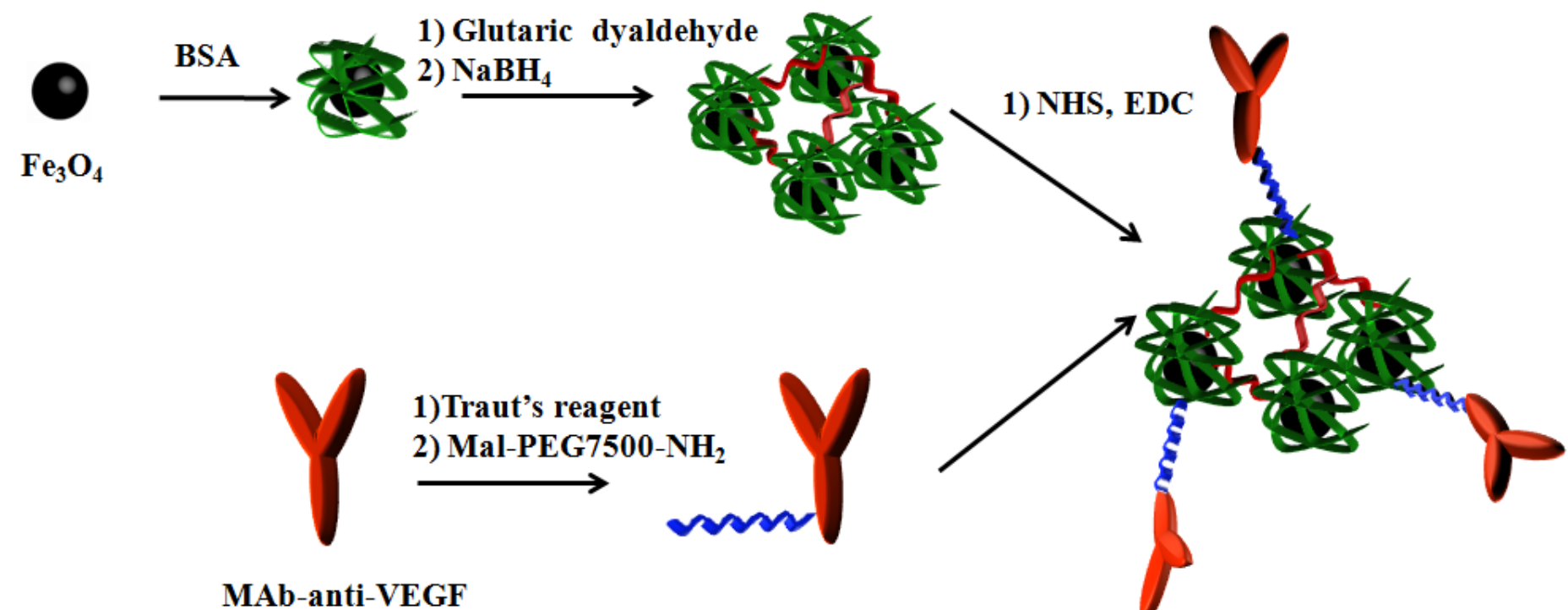
- Increase solubility
- Increase circulation time



Загрузка и высвобождение доксорубицина



Конъюгация с анти-VEGF антителами

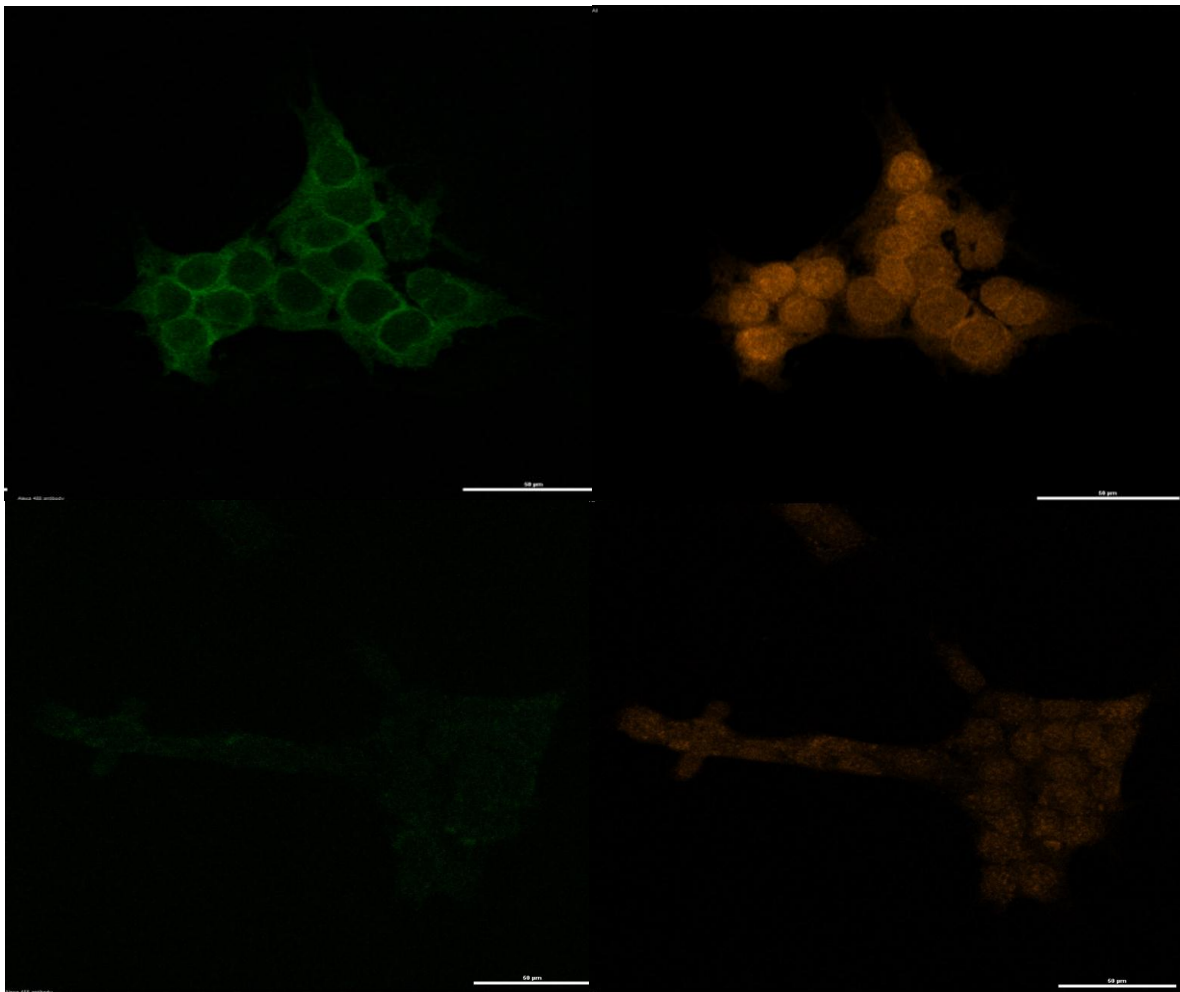


Взаимодействие с клетками аденокарциномы 4T1 мыши

MNP-IgG MNP-antiVEGF

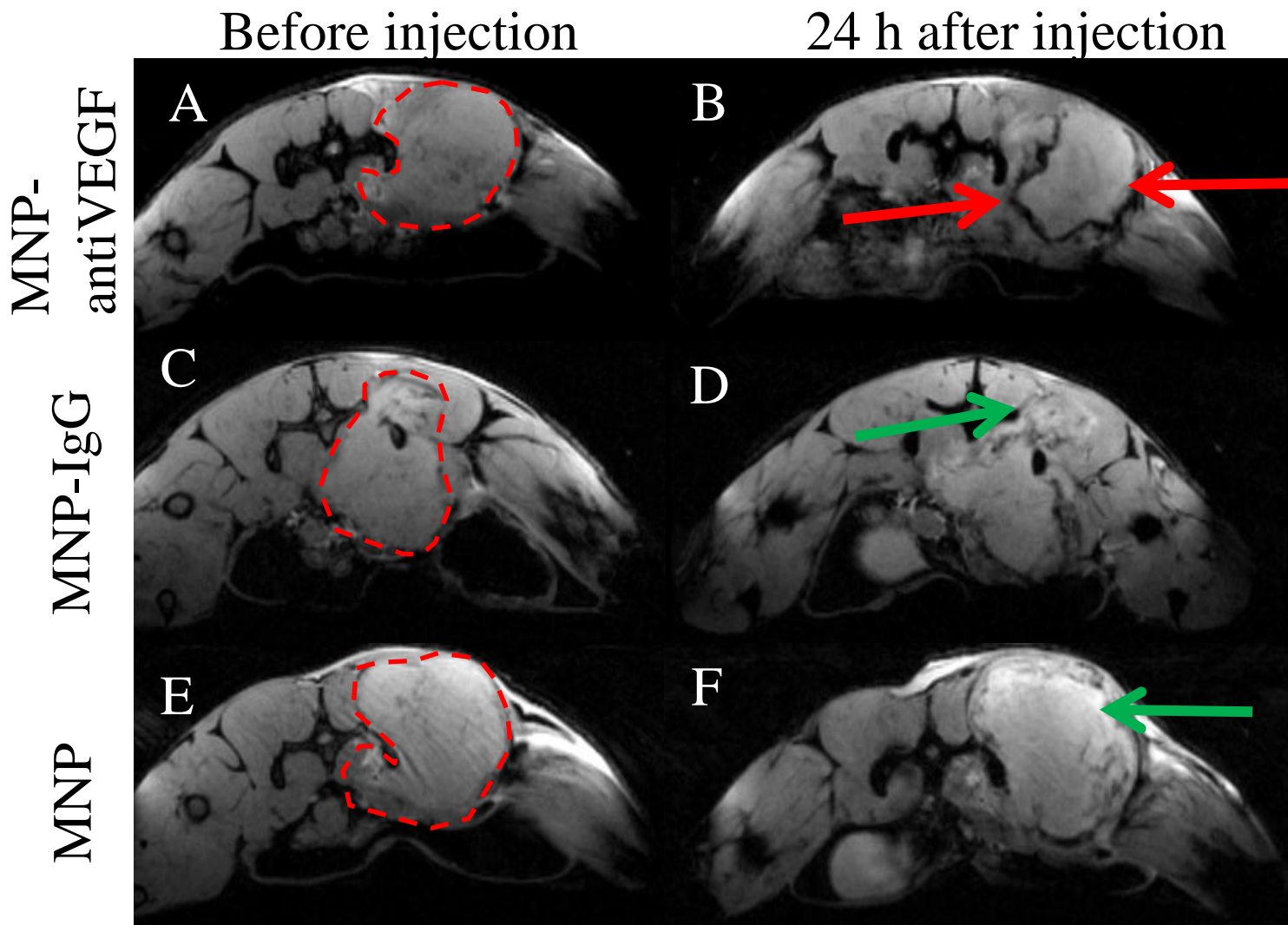
MNP

Dox

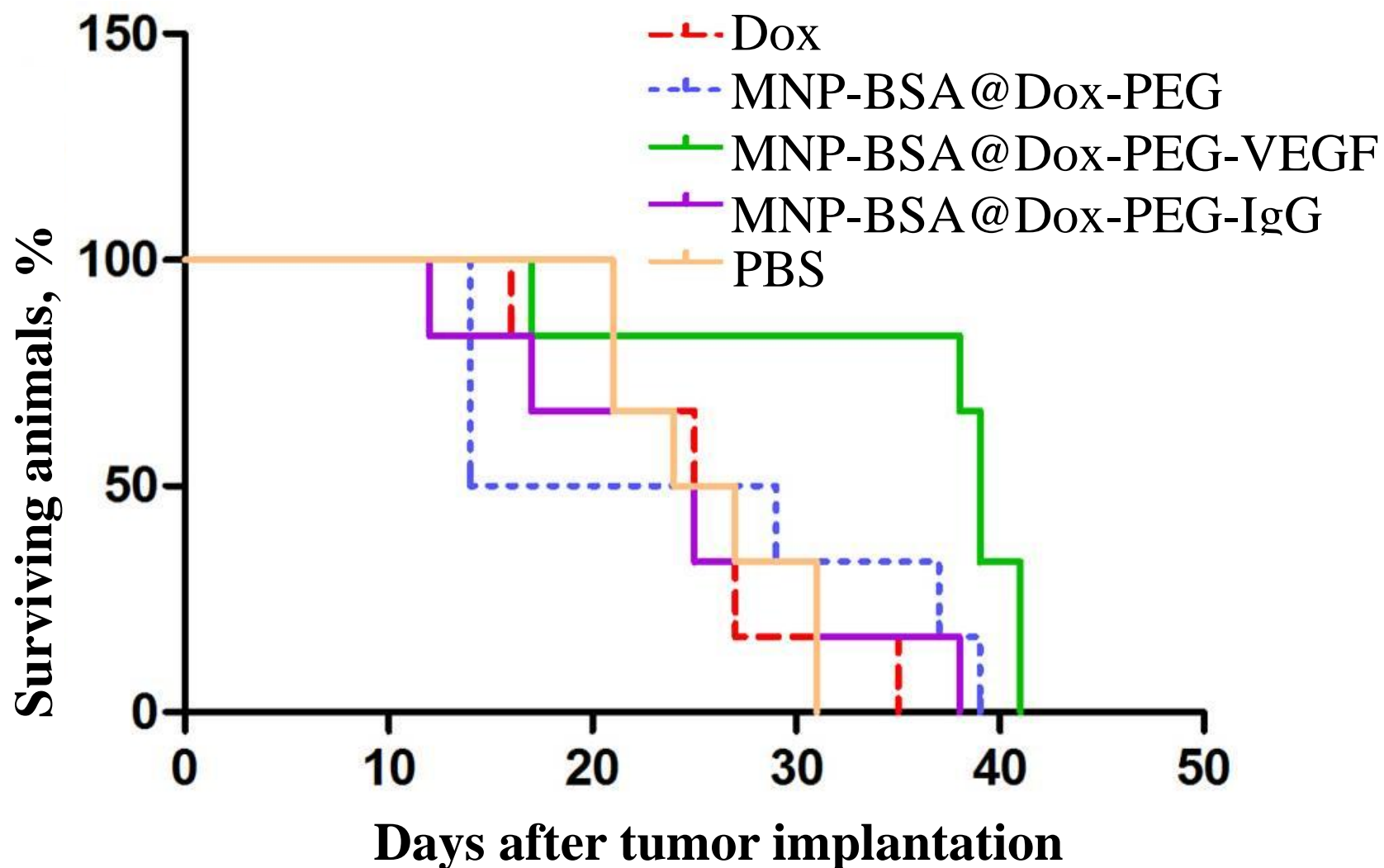


Визуализация аденокарциномы

4T1 мыши



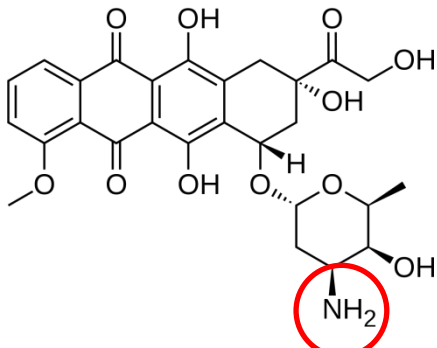
Терапия adenокарциномы 4T1 мыши



Доставка лекарств с помощью МНЧ

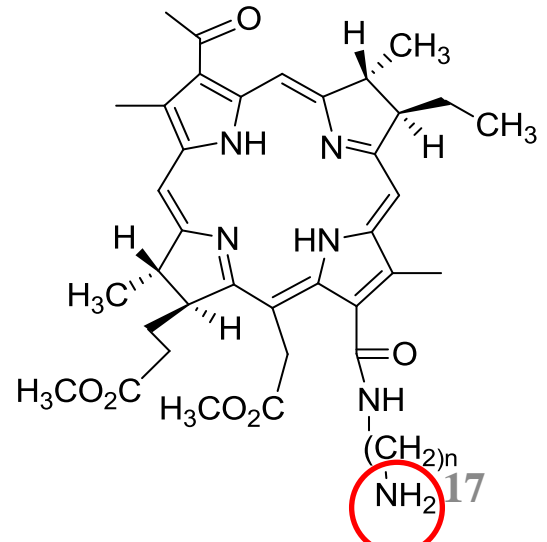
Доксорубицин

- Increase delivery efficiency
 - Decrease side effects

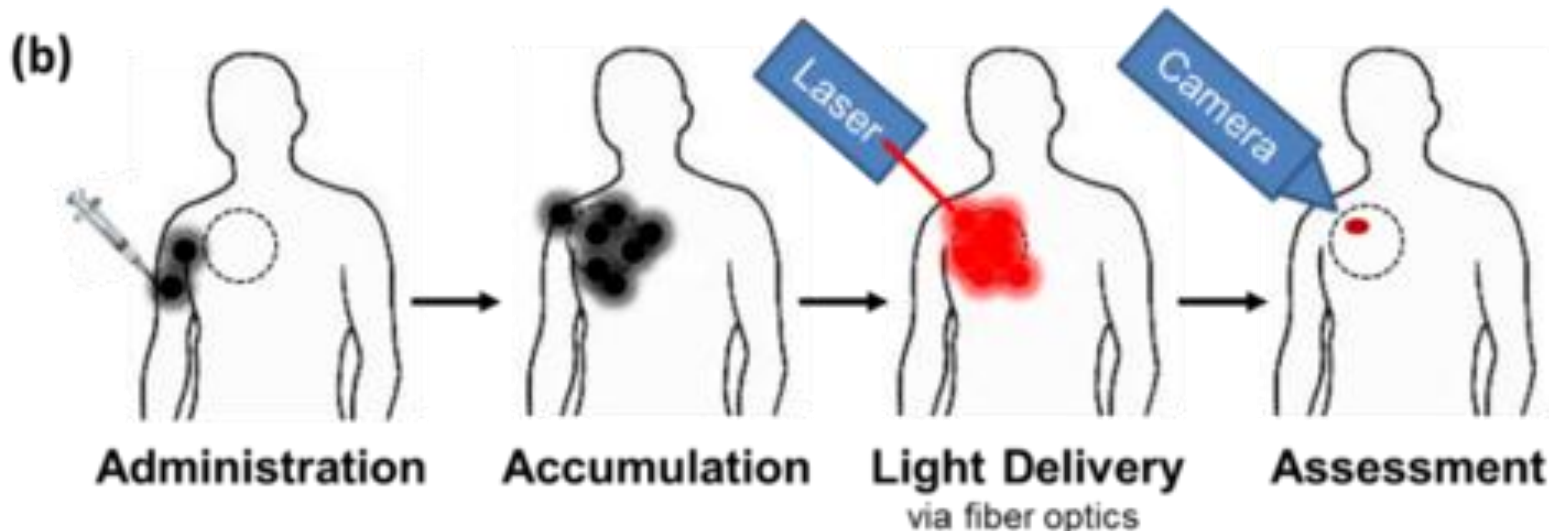
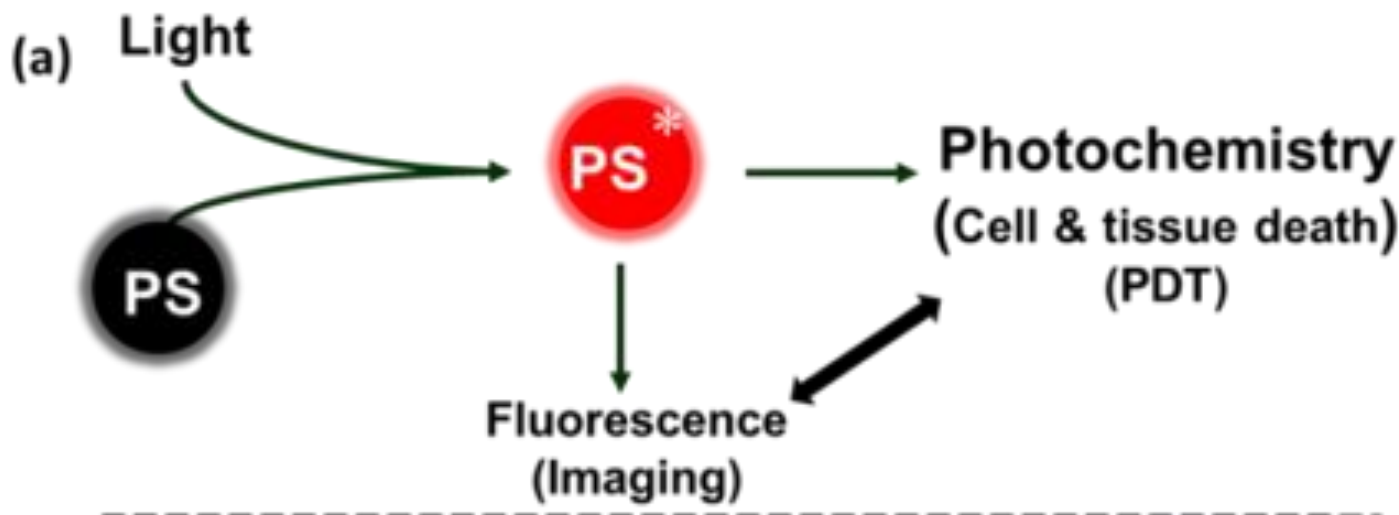


Фотосенсибилизаторы

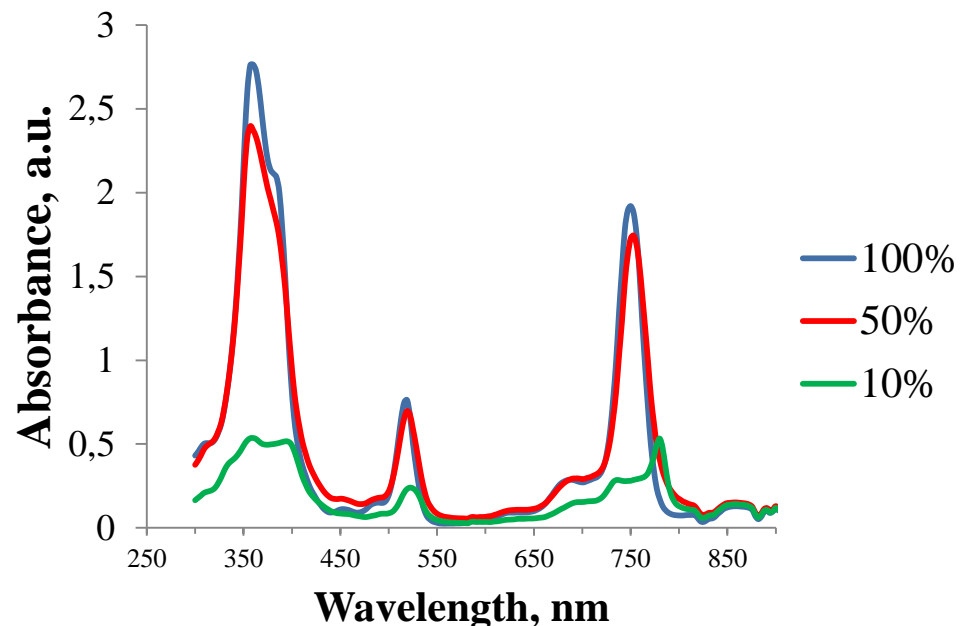
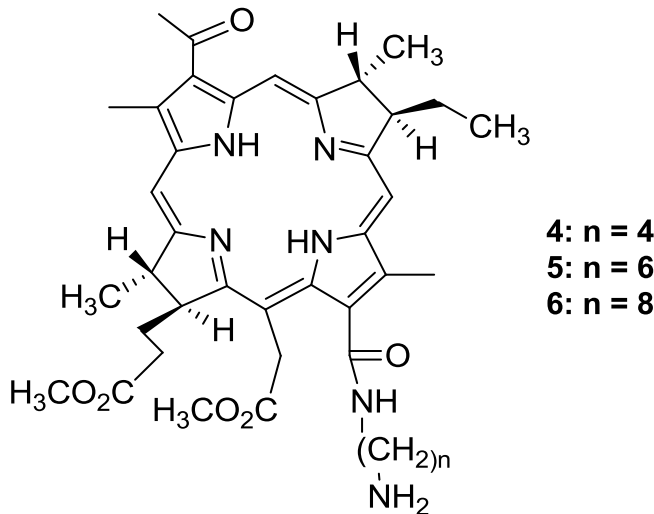
- Increase solubility
 - Increase circulation time



Фотодинамическая терапия

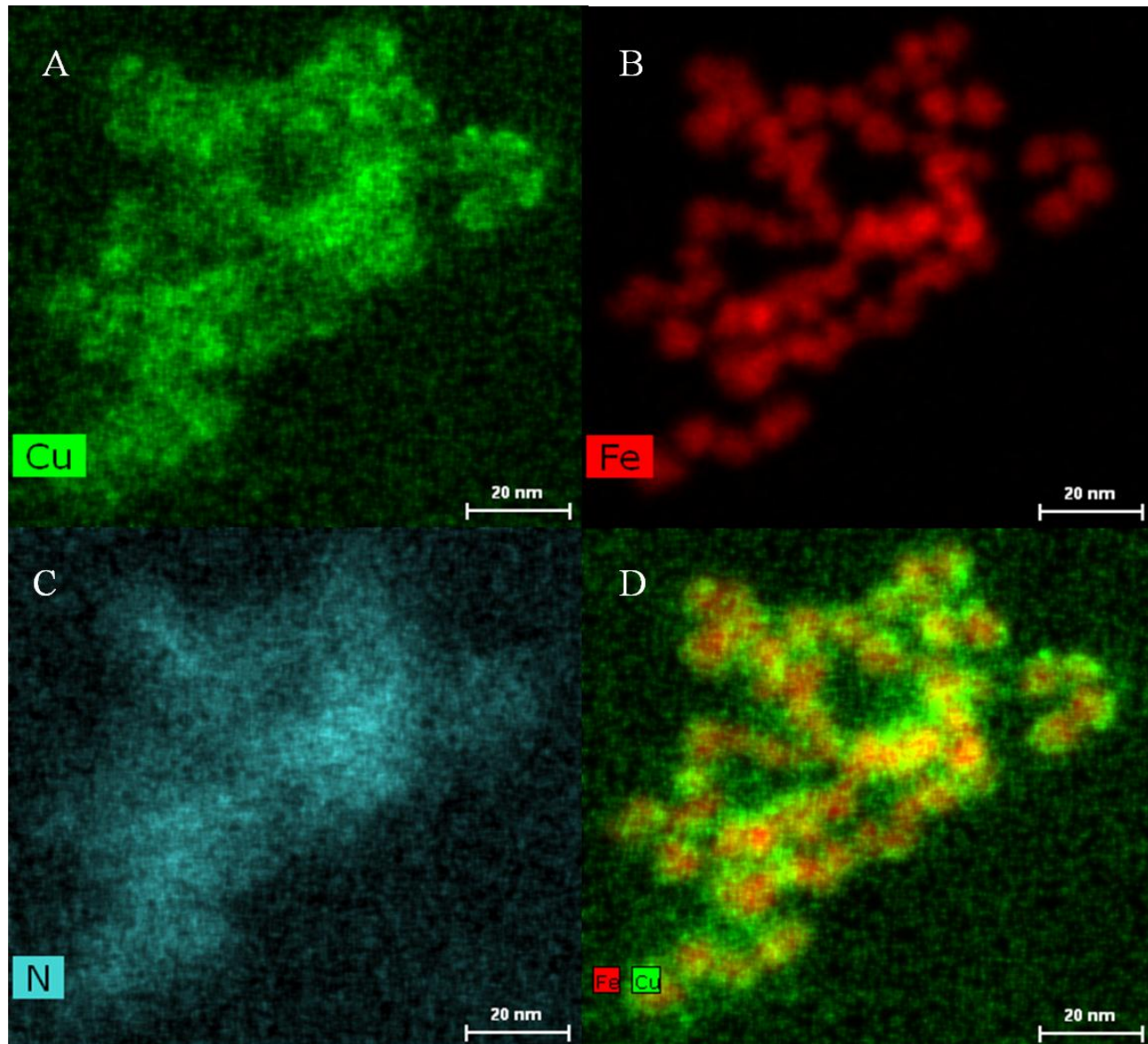


Синтез МНЧ@ФС



	PS 4	PS 6	PS 8
After purification	$D_{av} = 88,8 \text{ nm}$ PDI: 0,228	$D_{av} = 68 \text{ nm}$ PDI: 0,195	$D_{av} = 64,1 \text{ nm}$ PDI: 0,195
5 days after	$D_{av} = 87,4 \text{ nm}$ PDI: 0,245	$D_{av} = 69,1 \text{ nm}$ PDI: 0,189	$D_{av} = 63,7 \text{ nm}$ PDI: 0,167
Loading capacity, %	43.2 ± 0.52	61.7 ± 2.8	52.5 ± 3.1 19

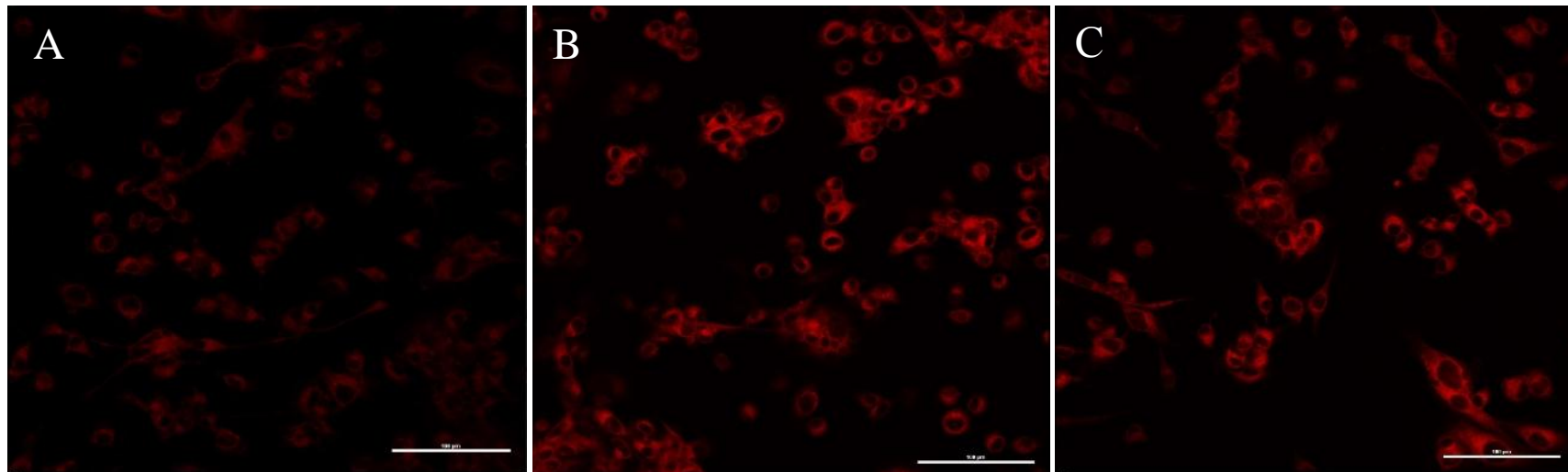
Характеристика МНЧ@ФС



Темновая и световая токсичность

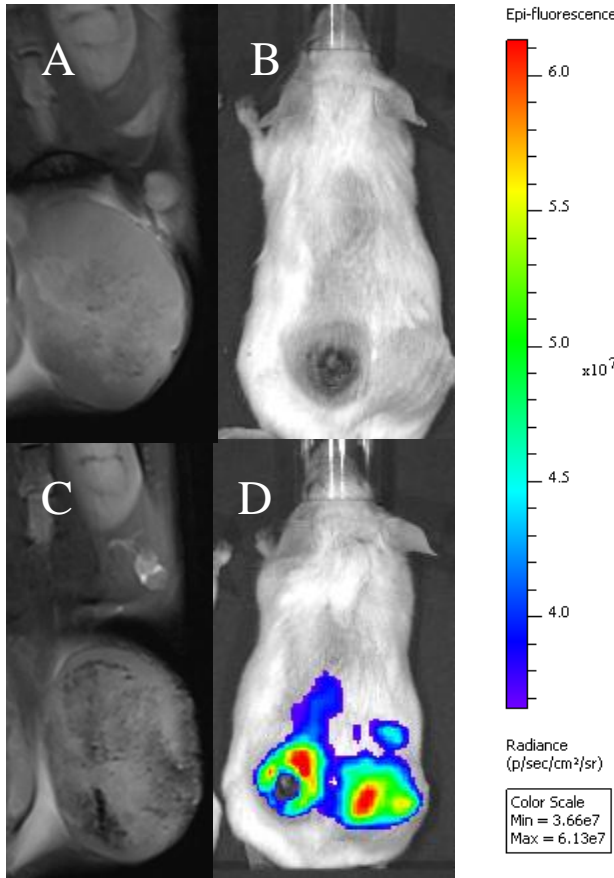
МНЧ@ФС

<i>Incubation time</i>	IC ₅₀ , ng/ml			
	30 min	2h	4h	dark
MNP@PS4	195±9	70±4	44±3,5	2783±39
MNP@PS6	57±3	54±4,5	49±2	1093±35
MNP@PS8	95±7	65±4	58±4,5	1042±17



Колокализация МНЧ и ФС в опухоли

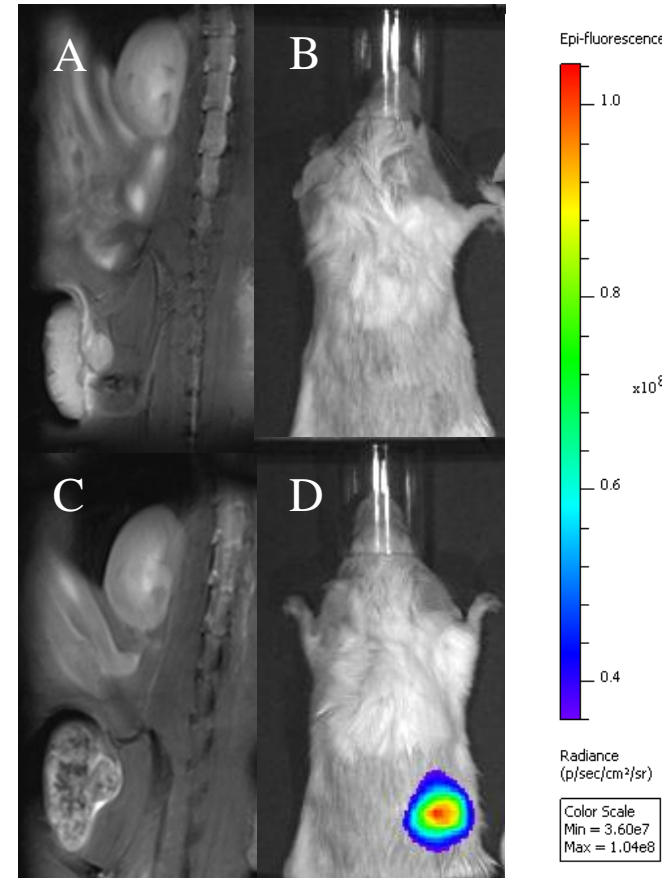
Before



4h

CT26

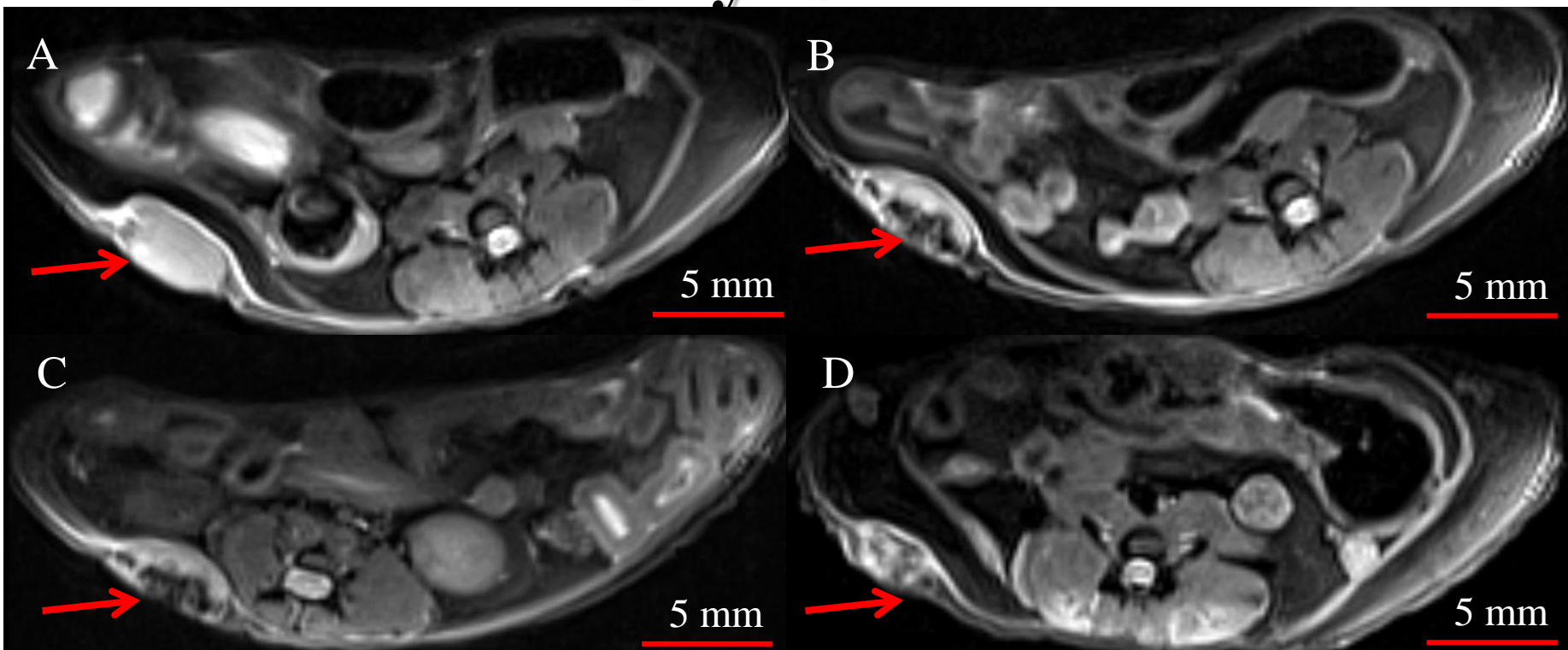
Before



6h

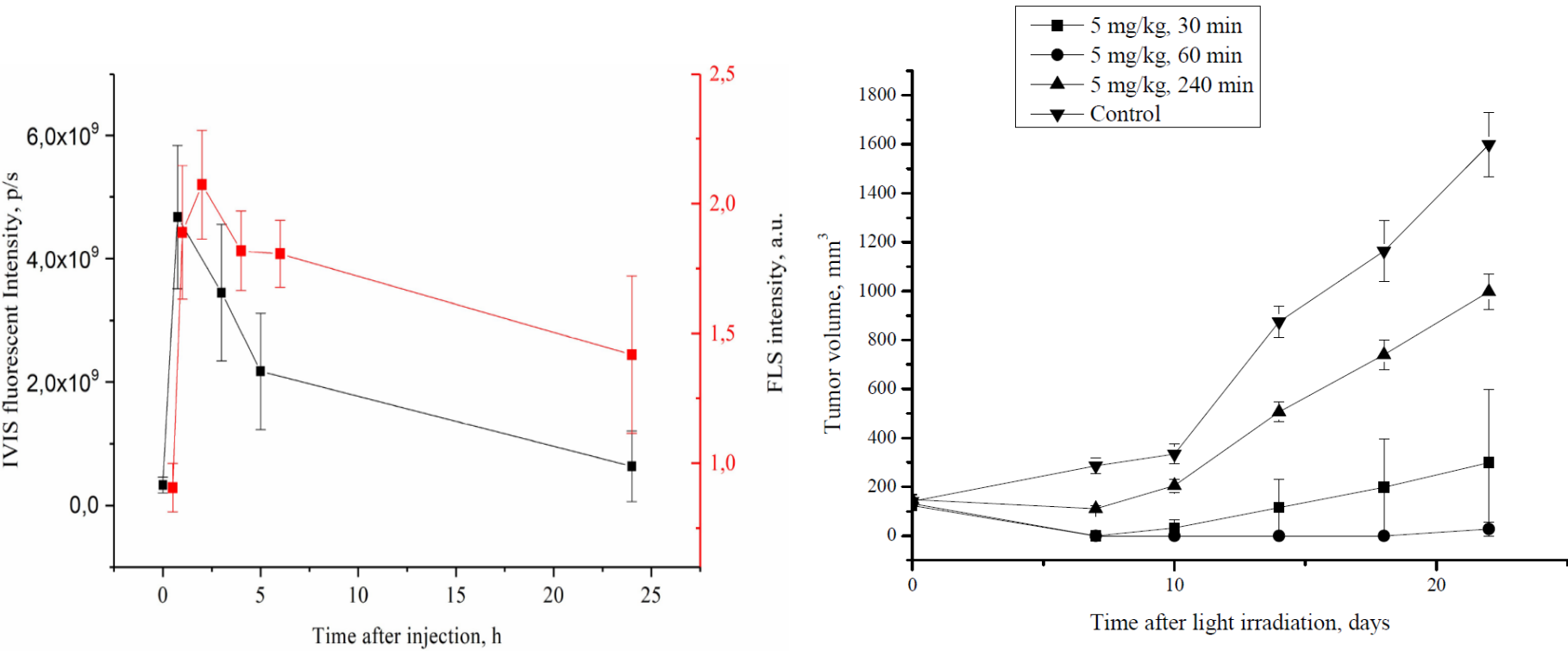
4T1

Колокализация МНЧ и ФС в опухоли

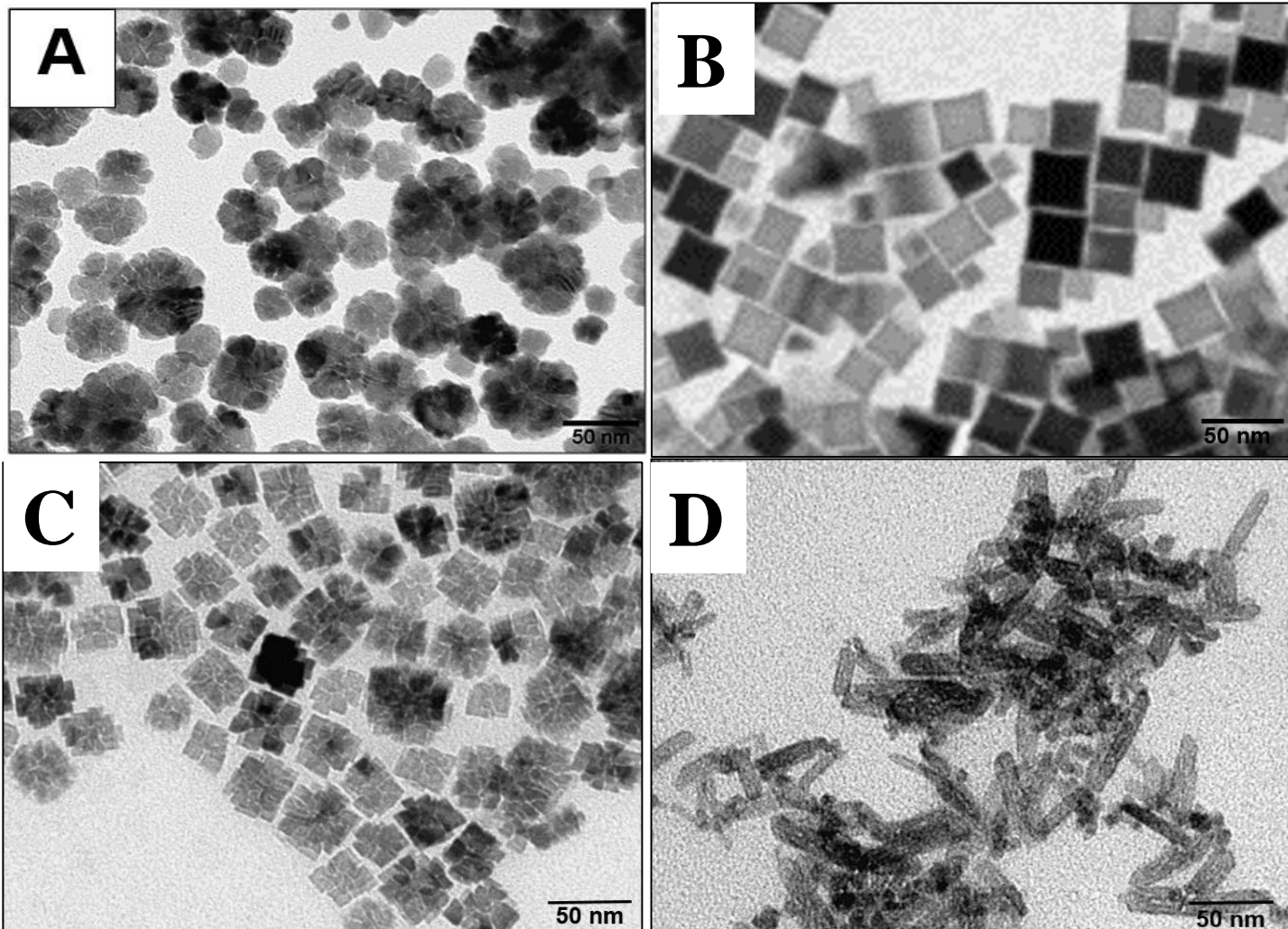


Representative T2 weighted images of subcutaneous CT26 tumors (red arrows) before (**A**) and 1 h (**B**), 4 h (**C**) and 24 h (**D**) after i.v. injection of MNP-HSA@PS.

Терапия опухоли карциномы кишечника мыши СТ26



Синтез анизотропных магнитных наночастиц



A. Nikitin et. al. *Journal of Magnetism and Magnetic Materials*, 2017

A. Nikitin et. al. *Langmuir*, 2018

Влияние формы и размера на биораспределение

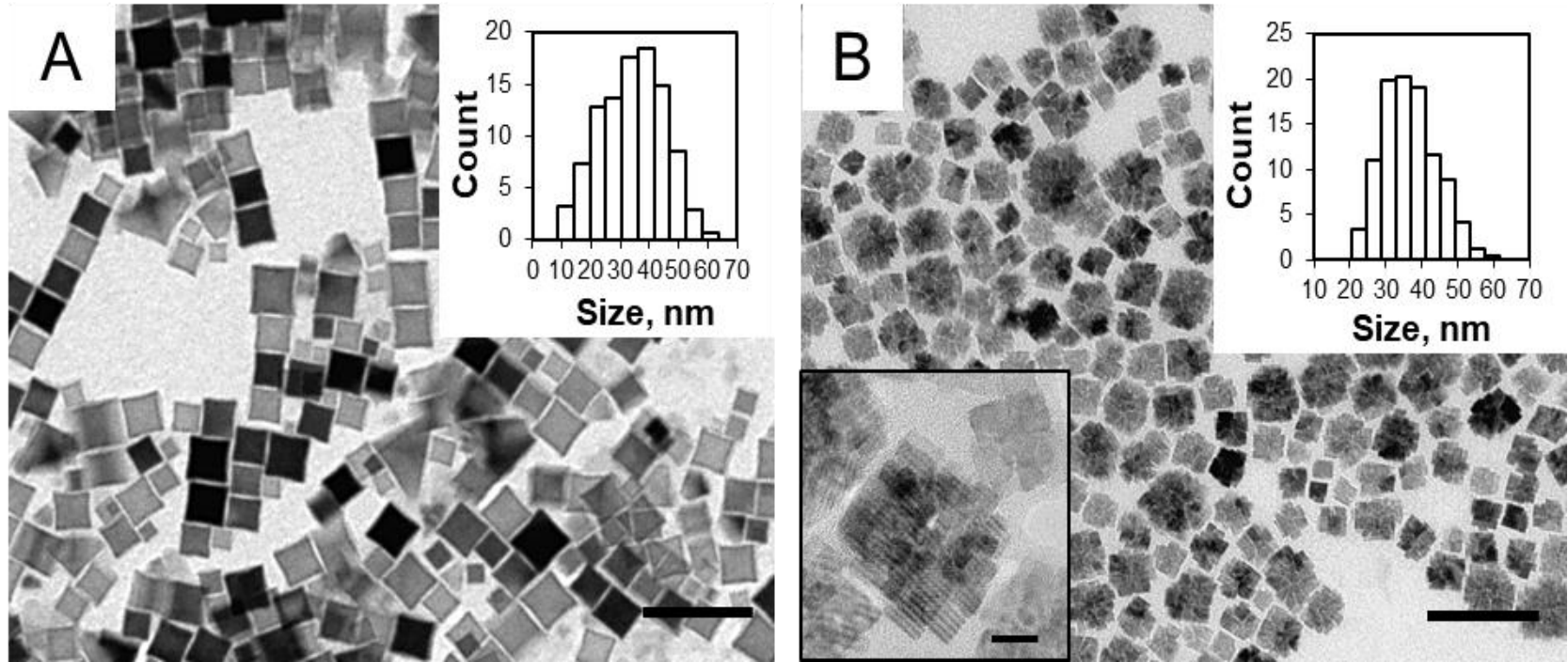
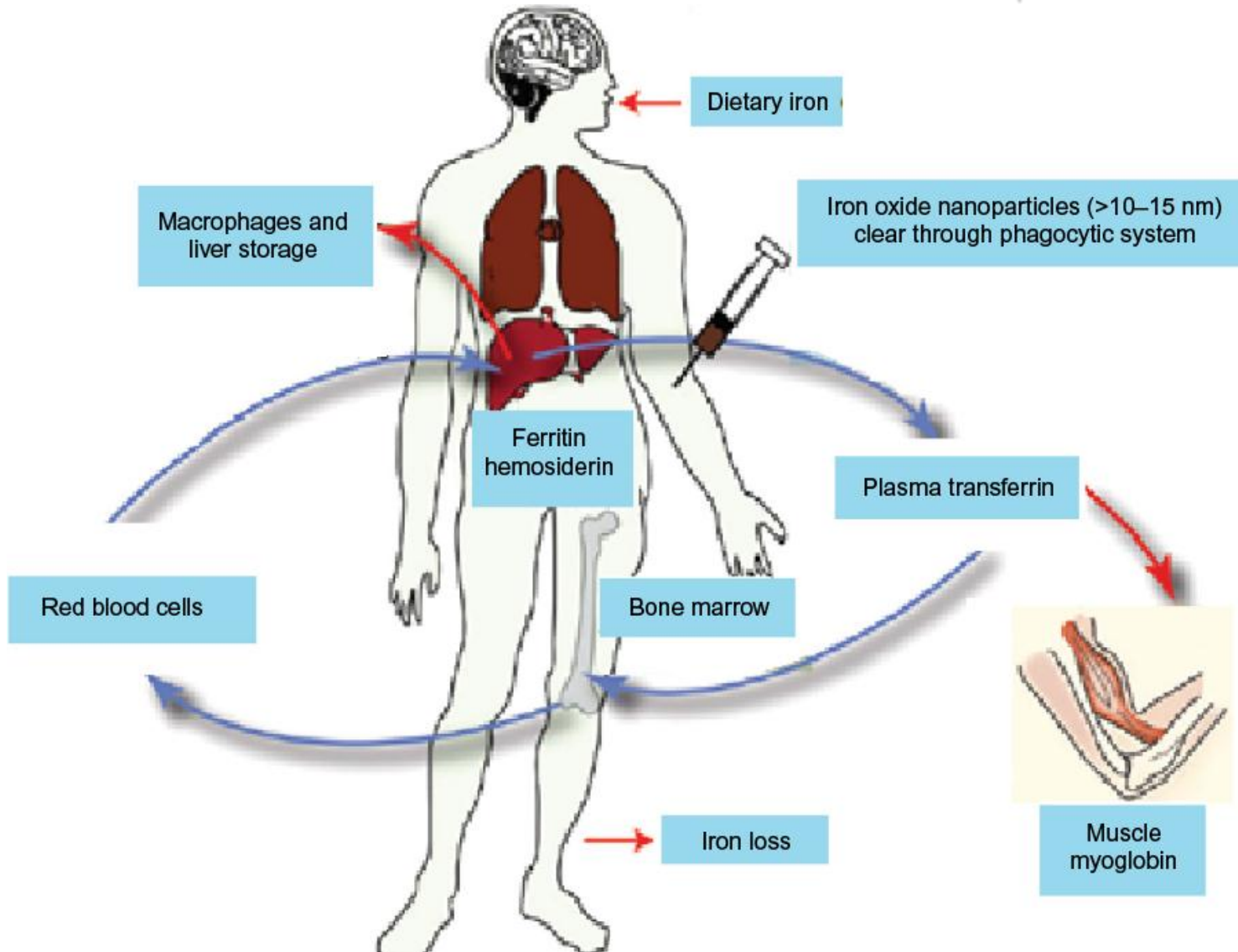
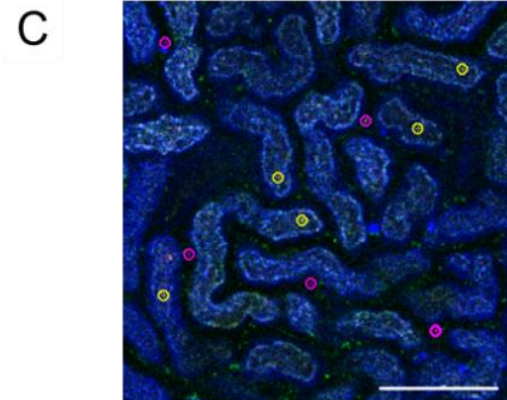
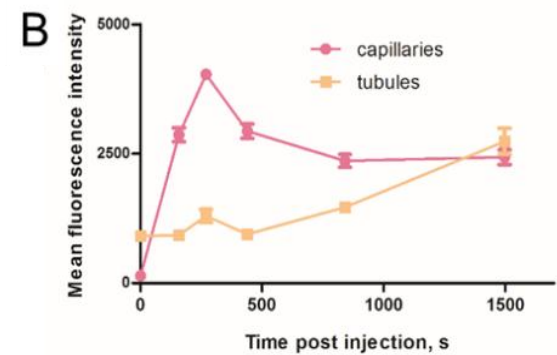
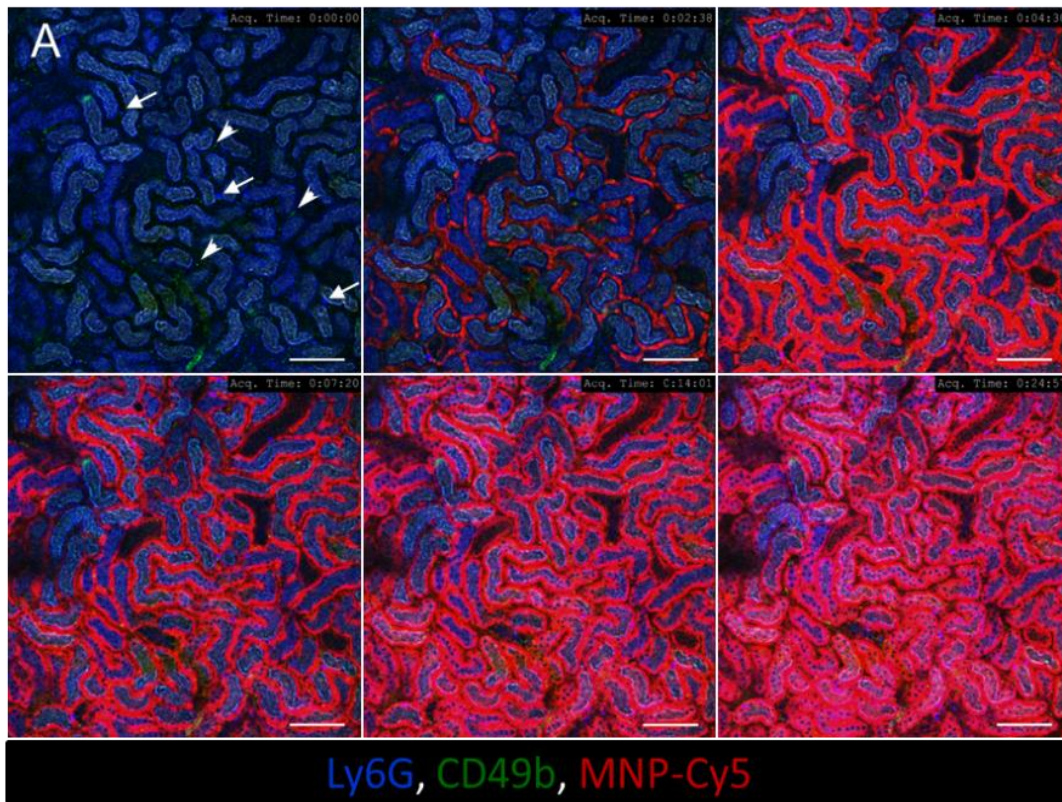


Схема биораспределения магнитных наночастиц

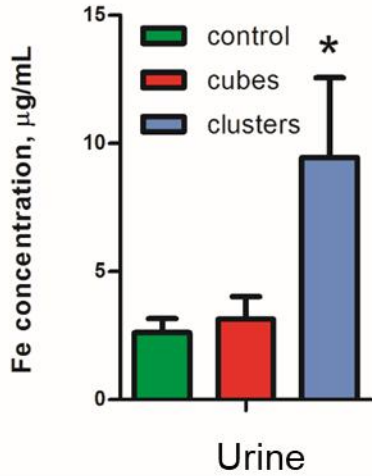


Фильтрация почками



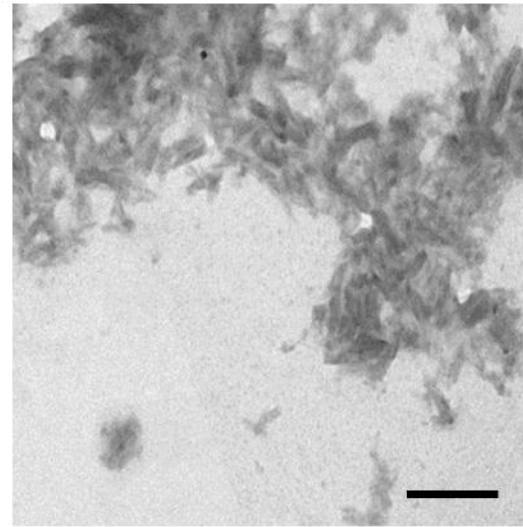
Фильтрация почками

A



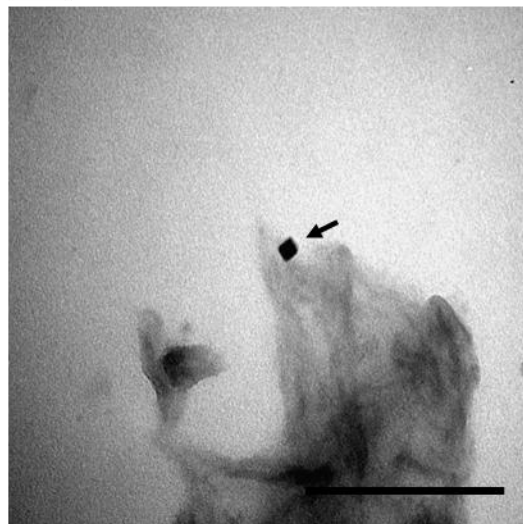
B

Control



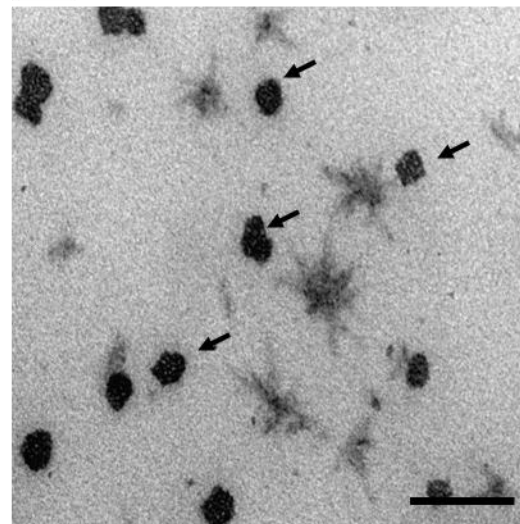
C

Cubes



D

Clusters





Благодарности

- Prof, Dr.Sci, Chekhonin V.P.
- Prof, Dr. Sci, Kabanov A.V.
- Prof, Dr.Sci, Majouga A.G.
- Dr. Sci, Baklaushev V.P.
- Ph. D., Semkina A.S.
- Ph.D., Naumenko V. A.
- Ph.D., Nukolova N.V.
- Skorikov A.S.
- Ostroverkhov P.V.
- Ph.D., Grinenko N.F.
- Ionova K.P
- Ph.D., Savchenko A.G.
- Ph. D., Gorelkin P.V.
- Ph.D., Erofeev A.S.
- Ph.D., Garanina A.S.
- Ph.D., Naumenko V.A.

Financial support: The reported study was funded by RFBR according to the research project 16-33-60180, 18-29-09061. Ministry of Education and Science of the Russian Federation, in the framework of the Increase Competitiveness Program of NUST "MISIS" (Grant No. K2-2019-011), RSF grant № 17-74-10169

Спасибо за внимание!